

**ЭЛЕКТРОМЕХАНИЧЕСКАЯ СИСТЕМА ПОДЪЕМНЫХ МЕХАНИЗМОВ С  
ЗАМКНУТЫМ АСИНХРОННЫМ ЭЛЕКТРОПРИВОДОМ**

Механическую часть электромеханической системы (ЭМС) механизмов подъема с электроприводом ТПН-АД можно представить состоящей из двух сосредоточенных масс и упругой связи между ними (канат). Из-за относительно малого значения момента инерции второй массы (груза)  $J_2$  целесообразно учесть электромагнитную инерционность асинхронного двигателя. Для линеаризованного в «малом» АД были получены передаточные функции при определенных параметрах и заданном скольжении [1]:  
передаточная функция АД по напряжению

$$H_u(p) = \frac{U_s r_r}{a_4} \cdot \frac{(b_1 p^3 + b_2 p^2 + b_3 p + b_4)}{a_0 p^4 + a_1 p^3 + a_2 p^2 + a_3 p + a_4}, \quad (1)$$

передаточная функция внутренней обратной связи по скорости

$$H_\omega(p) = \frac{U_s^2 r_r}{a_4} \cdot \frac{(c_1 p^3 + c_2 p^2 + c_3 p + c_4)}{a_0 p^4 + a_1 p^3 + a_2 p^2 + a_3 p + a_4}. \quad (2)$$

Для моделирования ЭМС по передаточным функциям (1) и (2) используется структурная схема, приведенная на рис.1, где звено «параметры» позволяет менять коэффициенты  $H_u(p)$ ,  $H_\omega(p)$  в функции скольжения ( $\omega_1$ ). Вся система (рис.1) описывается уравнениями в операторной форме

$$\begin{cases} (U_z - \omega_1 \cdot k_{oc}) H_u(p) k = M_u \\ M_u - H_\omega(p) \cdot \omega_1 = M \\ (M - M_y) \cdot \frac{1}{J_1 p} = \omega_1 \\ M_y = (\omega_1 - \omega_2) \cdot \frac{C_{12}}{p} \\ (M_y - M_c) \cdot \frac{1}{J_2 p} = \omega_2 \end{cases} \quad (3)$$

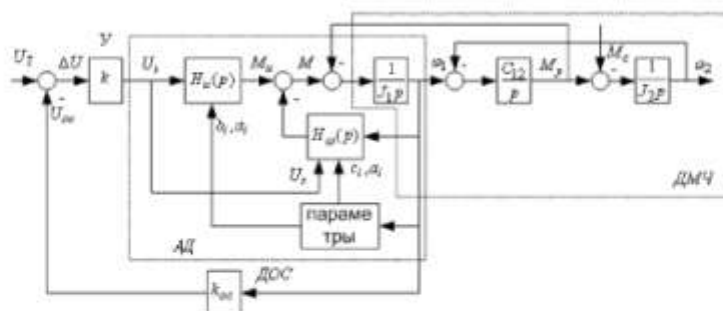


Рис.1. Структурная схема нелинейной двухмассовой ЭМС, полученной по передаточным функциям

В (3) и на рис.1 все величины приведены к валу двигателя:  
 $k_{oc}$  – коэффициент обратной связи по скорости двигателя,  
 $k = \kappa_y \cdot \kappa_n$  – произведение коэффициентов усилителя и преобразователя напряжения,  
 $M$  – момент двигателя, а  $M_u$  – составляющая момента от напряжения,  
 $\omega_1, \omega_2$  – скорости двигателя и второй массы,  $C_{12}$  – коэффициент жёсткости упругой связи, а  
 $M_y = C_{12}(\omega_1 - \omega_2) \frac{1}{p}$  – момент упругой деформации.

Решая систему уравнений (3) относительно интересующих переменных, получим выражения:

$$M_y = \frac{C_{12}H_u(p) \cdot J_2 k U_z p + [H_w(p) + H_u(p)kk_{oc} + J_1 p]C_{12} \cdot M_c}{(J_2 p^2 + C_{12})[H_w(p) + H_u(p)kk_{oc}] + J_2 J_1 p^3 + C_{12}(J_1 + J_2)p}$$

$$\omega_1 = \frac{[C_{12}H_u(p) + H_u(p)J_2 p^2]k U_z - C_{12}M_c}{(J_2 p^2 + C_{12})[H_w(p) + H_u(p)kk_{oc}] + J_2 J_1 p^3 + C_{12}(J_1 + J_2)p}$$

$$\omega_2 = \frac{C_{12}kH_u(p)U_z - \{[H_w(p) + H_u(p)kk_{oc}]p + (C_{12} + J_1 p^2)\}M_c}{(J_2 p^2 + C_{12})[H_w(p) + H_u(p)kk_{oc}] + J_2 J_1 p^3 + C_{12}(J_1 + J_2)p}$$

Из выражений (4) вытекает характеристическое уравнение

$$(J_2 p^2 + C_{12})[H_w(p) + H_u(p)kk_{oc}] + J_2 J_1 p^3 + C_{12}(J_1 + J_2)p = 0$$

или

$$\Rightarrow C_0 p^7 + C_1 p^6 + C_2 p^5 + C_3 p^4 + C_4 p^3 + C_5 p^2 + C_6 p + C_7 = 0,$$

где коэффициенты  $C_i$  являются функциями  $k$ ,  $C_{12}$ ,  $J_1$ ,  $J_2$  и всех параметров двигателя.

При использовании критерия Гурвица необходимо записать определители для матрицы, которая составляется из коэффициентов уравнения (5) следующим образом.

$$\begin{vmatrix} C_1 & C_3 & C_5 & C_7 & 0 & 0 & 0 \\ C_0 & C_2 & C_4 & C_6 & 0 & 0 & 0 \\ 0 & C_1 & C_3 & C_5 & C_7 & 0 & 0 \\ 0 & C_0 & C_2 & C_4 & C_6 & 0 & 0 \\ 0 & 0 & C_1 & C_3 & C_5 & C_7 & 0 \\ 0 & 0 & C_0 & C_2 & C_4 & C_6 & 0 \\ 0 & 0 & 0 & C_1 & C_3 & C_5 & C_7 \end{vmatrix}$$

Согласно критерию устойчивости Ляпунова–Шипара [3], для определения устойчивости САУ, описываемой дифференциальным уравнением 7-го порядка, достаточно выяснить, удовлетворяются ли неравенства  $\Delta_2 > 0, \Delta_4 > 0, \Delta_6 > 0$  при всех положительных коэффициентах, т.е. должно быть

$$\begin{cases} C_i > 0 \\ \Delta_2 = C_1 C_2 - C_0 C_3 > 0 \\ \Delta_4 = \Delta_3 C_4 + \Delta_2 (C_1 C_6 - C_2 C_5 - C_0 C_7) + C_0 C_5 (C_1 C_4 - C_0 C_5) > 0 \\ \Delta_6 = \Delta_5 C_6 - \Delta_4 C_4 C_7 + \Delta_3 C_2 C_6 C_7 - \Delta_2 C_7 (C_0 C_5 C_6 + C_2^2 C_7 - C_0 C_4 C_7) + \\ + C_0 C_7 [C_1^2 C_6^2 + C_1 C_7 (C_2 C_4 - 2C_0 C_6) + C_0 C_7 (C_0 C_7 - C_2 C_5)] > 0. \end{cases}$$

Решение системы неравенств (6) относительно коэффициента усиления  $k$  и жесткости  $C_{12}$  позволило определить граничные жесткости для разных коэффициентов  $k$  и получить зоны устойчивости ЭМС в координатах жесткость  $C_{12}$  (в относительных единицах) – коэффициент усиления  $k$ . Были получены области устойчивости, исходя из передаточных функций АД (1) и (2). Однако в [2] показано, что реальные граничные коэффициенты усиления АД должны быть скорректированы с учетом коэффициентов  $\gamma$  и  $\beta$ , зависящих от точки разложения в установившемся режиме работы АД. Коэффициент  $\gamma$  учитывает тот факт, что  $H(p)$  АД получены для линеаризованной модели, а  $\beta$  – изменение насыщения магнитной цепи. В нашем случае  $\gamma=0,95$ ,  $\beta=0,9$ . С их учетом на рис.2 приведены результаты расчета для двигателя 4МТФН200L8 и одной из точек разложения при  $J_2 = 0,15 J_1$ , что характерно для подъемных механизмов. На ней зоны устойчивости находятся со стороны штриховки.

На рис.3 показаны переходные процессы  $M_y(t)$ . Заметим, что переходные процессы момента упругости в точках А ( $k=10$ ,  $C_{12}=3$  – рис.3.а) и С ( $k=10$ ,  $C_{12}=20$  – рис.3.с) затухают – системы устойчивы. На рис. 3.б показан переходный процесс для точки В ( $k=10$ ,  $C_{12}=10$ ) – система неустойчива. Таким образом, моделирование подтверждает рассчитанные графики областей устойчивости.

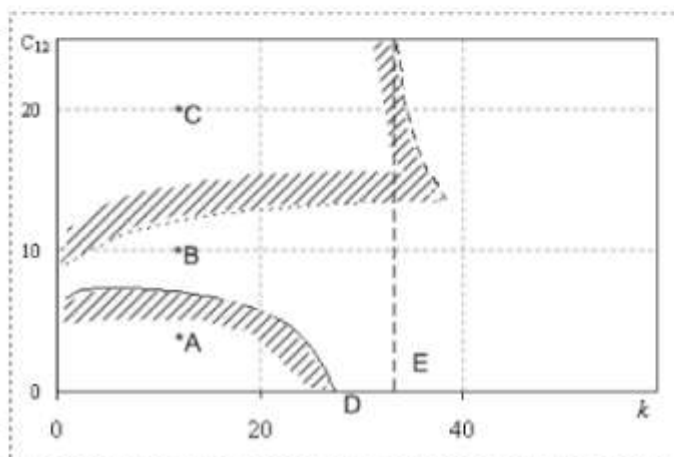


Рис.2. Область устойчивости для точки разложения  $J_2 = 0,15 J_1$  и  $M_c = 0,571$ ,  $\omega = 0,1$

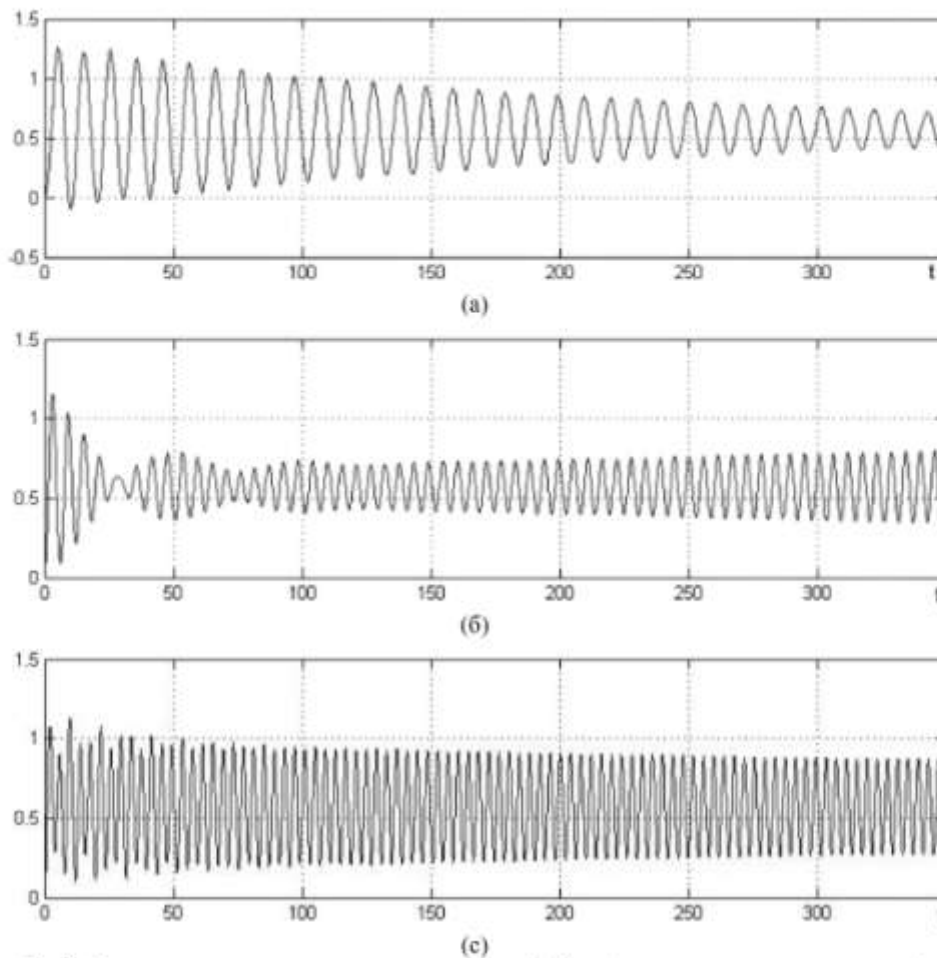


Рис.3. Переходные процессы момента упругости ( $M_y$  и  $t$  – в относительных единицах)

В частных случаях, при  $C_{12} = 0$  - точка D (или  $C_{12} \rightarrow \infty$  - точка E), действует абсолютно жесткая ЭМС с  $J = J_1$  (или  $J = J_1 + J_2$ ). Для неё граничные коэффициенты легко могут быть рассчитаны как для одномассовой ЭМС [2]. Заметим, что при увеличении напряжения в установившемся режиме (статического момента) зоны устойчивости сужаются, т.е. графики сдвигаются влево.

#### Литература.

1. Герасимьяк Р.П. Динамика асинхронных электроприводов крановых механизмов. – М.: Энергоатомиздат, 1986. – 168 с.
2. Нгуен В.Х. Расчет граничных коэффициентов усиления замкнутой системы асинхронного электропривода с учетом насыщения // Электромашинобуд. та електрообладн. – 2008. – Вып. 70. – С.30-36.
3. Попович М.Г., Ковальчук О.В. Теорія автоматичного керування.: Підручник.– К.:Либідь, 1997. – 544 с.